

國立臺灣師範大學教育心理與輔導學系  
教育心理學報，民 96，39 卷，1 期，45—68 頁

# 完形治療理論之驗證：接觸干擾、未完成事件與心理幸福感因果模式考驗

陳 金 定

國立體育學院  
師資培育中心

本研究目的在透過考驗接觸干擾、未完成事件與心理幸福感因果模式，以驗證完形治療理論。資料以結構方程模式（SEM）進行分析。受試者共 434 人為高一、高二學生（男 239 人、女 195 人）。研究結果顯示修正後之理論模式，整體契合度在可接受範圍，大部分模式內在與外在契合度也在可接受範圍。依據完形治療理論提出之因果模式獲得支持。最後研究者依據研究結果提出未來研究之建議，包括釐清接觸干擾之類別、處理自律與積極人際關係兩變項之衝突關係、比較男女因果模式之差異。

**關鍵詞：**心理幸福感、未完成事件、完形治療、界限干擾、接觸干擾

完形治療為常用之治療法之一，但在 Corsini 和 Wedding（1994）主編之當代心理治療法書中，完形治療卻被刪除（引自朱玲億等人譯，民 89）。可能原因之一，不管正式或非正式之研究，完形治療都沒有足夠研究支持其思想（Yontef, 1993）。與其他治療學派之實證研究比較，完形治療理論驗證性研究極少。在 PQDT（ProQuest Dissertation and Theses）資料庫中，從 1980~2006 年有關完形治療相關研究只有 114 篇，其中未發現有理論驗證性研究。

這種情形不只存在國外，國內也如此。國內跟完形治療有關之研究，直至今日為止約 10 篇（量化及質化研究各 5 篇），可分為兩類，一類以探討完形取向輔導效果為主（例如詹淑瑗，民 91），另一類以分析輔導改變歷程為主（例如孫兆均，民 93），這兩類都未涉及理論驗證性研究。

Yontef（1993）認為，一個學派之思想，如果沒有透過研究之考驗、批判，或現象學理論分析，或哲學分析，該學派思想便只是權威者理想而已。由此更顯得完形治療理論驗證性研究之重要。

總而言之，本研究目的在考驗完形治療理論中某些重要概念，以瞭解理論之適切性，並引發更多理論驗證性研究。

完形治療強調幾個重要概念：協助當事人覺察此時此刻之行爲及阻礙當事人完形之接觸干擾（interruption of contact）或界限干擾（boundary disturbance），以處理未完成事件（unfinished business），統整分立之兩極，並且與環境保持良好關係（金樹人，民 89）。以上概念涉及當事人症狀之形成與治療過程，將之圖示於圖 1。

從圖 1 可知，接觸干擾在症狀形成與治療中，佔有關鍵性地位。由於接觸干擾阻礙自我調節機制之運作，使得個人需求無法獲得滿足，而造成未完成事件，最後未完成事件以症狀或不適應行為來呈現。

以下說明與本研究相關之變項，包括接觸干擾、自我調節機制 (self-regulation)、未完成事件 (情緒表達壓抑)、心理幸福感 (psychological well-being) 等。

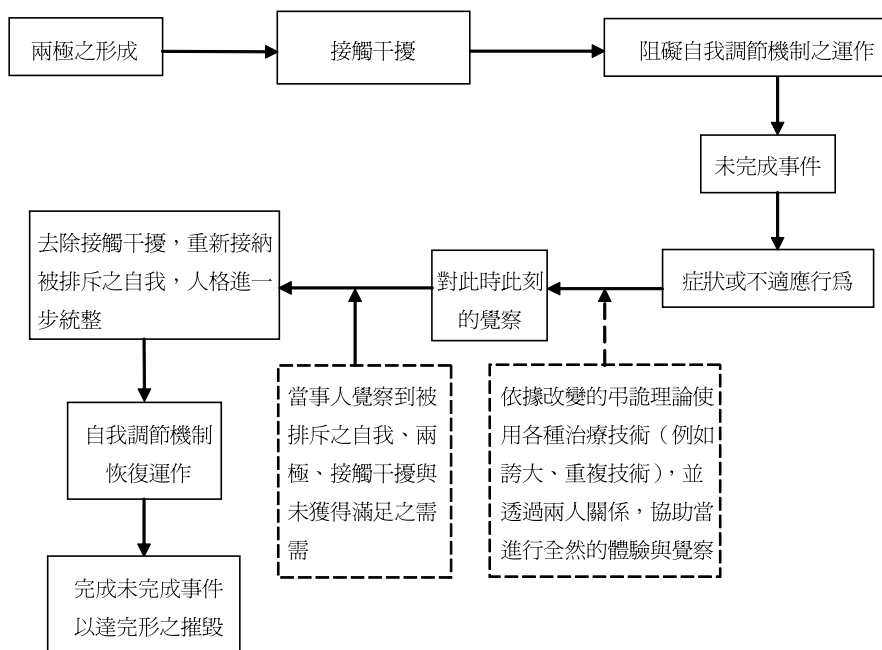


圖 1 完形治療理論中症狀之形成與治療改變之歷程

註：圖引陳金定，民 94，p.54

妨礙當事人與環境接觸之干擾稱為「接觸干擾」。在完形治療中，最常見之六種接觸干擾，分別為：融合 (confluence)、內射 (introjection)、投射 (projection)、回射 (retroreflection)、折射 (deflection) 與減敏感 (desensitization)。

「融合」指當事人獨特性消失，將自己與他人結合成一體，以「我們」取代「我」。「內射」指當事人未經過濾與選擇，便將父母、師長、朋友等價值觀或信念納入自我結構中。「投射」指將自己不能接納之部份自我，推給別人。「回射」指個人收回對別人之反應，轉而將該反應施加在自己身上。

「折射」指將覺察放在不重要之方向，以逃避跟環境直接接觸。「減敏感」指透過壓抑，使個人無法覺察對自己或對環境之感覺 (陳金定，民 90；Kiracofe, 1992)。

接觸干擾通常作用於自我調節機制上，使得自我調節歷程無法完成。自我調節歷程也稱為「完形經驗環 (cycle of gestalt)」，包括從需求出現到需求消褪之歷程。

不同學者對於自我調節階段歷程有不同分法。Korb, Gorrell, 和 Van De Riet (1989) 將之分為八個階段，分別為 (1) 休息、(2) 需求出現、(3) 掃瞄環境、(4) 選擇、(5) 接觸、(6) 同化或拒絕、(7) 需求滿足、(8) 需求消褪。

在自我調節歷程中，某些接觸干擾容易出現在特定階段歷程 (金樹人，民 89) 干擾自我調節歷程之完成。Smith (1988) 將自我調節歷程分為 7 階段，每階段容易受某些接觸干擾所影響，包括：(1)

需求出現（內射、投射、融合、折射、減敏感），(2) 興奮（回射），(3) 情緒（內射、投射、融合、折射、減敏感），(4) 行動（回射），(5) 互動（回射、趨射 *proflection*），(6) 滿足（內射、投射、融合），(7) 消褪（折射、減敏感）。

接觸干擾之所以能夠阻礙自我調解歷程，主要是因為接觸干擾牽動兩股對立力量，完形治療理論稱之為 *underdog* 與 *superdog*。心理分析學者將這兩股對立力量視為「表達衝動」與「抑制衝動」。心理症狀是兩種力量對峙所衍生之緊張，以及受阻衝動（*the blocked impulses*）之間接表達（Epstein, 1982）。換言之，接觸干擾使得抑制力量壓制了表達力量，讓個人需求落空，形成未完成事件，最後未完成事件以症狀或不適應行為來呈現。

每一種情緒都帶有表達之衝動（Baumeister & Tice, 1987），完成情緒表達代表當事人內在需求被滿足，也代表自我調解歷程之完成。研究上發現，表達情緒方式雖然不同，但都具有某種程度上效果。例如寫出創傷事件與情緒，或只是創傷之相關情緒，便有助於降低疾病發生率（Pennebaker & Beall, 1986）、看醫生次數（Greenberg & Stone, 1992），對免疫功能、自律神經與壓力之主觀感受等都有正面影響。用語言表達情緒，也獲得類似效果（Pennebaker, Hughes, & O'Heeron, 1987）。

當事人在情緒產生後，壓抑情緒表達，此種行為稱為「表達性壓抑（*expressive suppression*）」（Gross, 1998, 1999），這是表達衝動與抑制衝動對峙後，表達衝動被壓制之結果。壓抑情緒表達會對當事人身心造成不良影響，包括：提高罹患疾病之機率（例如 Gross & Levenson, 1997）；影響當事人對情緒經驗之記憶，造成適應困難（Richards & Gross, 2000）；對情緒認識不清、經歷到較多負面經驗、降低心理幸福感（Gross & John, 2003）；造成情緒反撲（*rebound effects*）（Emmons & King, 1988），引起飲食異常、創傷後壓力症狀、焦慮、憂鬱等（Wenzlaff & Bates, 2000）。

心理幸福感涉及自我接受、與他人維持積極關係、自律、掌控環境、具有生命目的與追求積極成長等六種內涵（Ryff, 1989）。從以上描述反映出，未完成事件對這六種內涵皆有負面影響。

綜合以上所言，依據完形治療理論及相關研究，接觸干擾、未完成事件與心理幸福感之因果模式如圖 2、圖 3。



圖 2 接觸干擾、未完成事件與心理幸福感之因果模式徑路圖

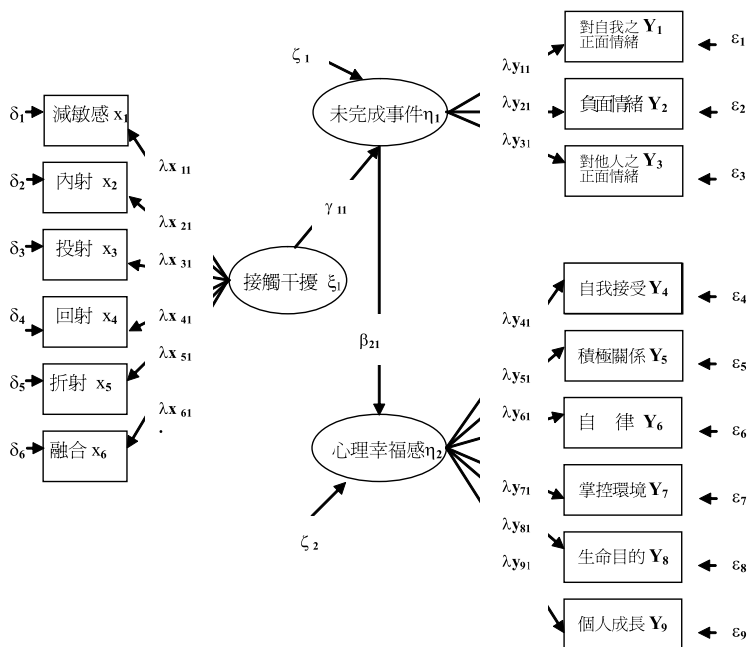


圖 3 接觸干擾、未完成事件與心理幸福感之結構方程模型圖

## 方 法

### 一、研究對象

本研究受試者為高中職一、二年級學生共 434 人（男 239 人、女 195 人），分別來自正德中學、啓英中學、樹林高中、建國中學、海山高工、暖暖高中、虎尾高中、北斗家商、花蓮高商、三重高中、楊梅高中。抽樣方式為以班級為單位之隨機抽樣，但以獲得同意之學校為主。

### 二、研究工具

本研究使用之工具包括「接觸干擾量表」、「情緒表達壓抑量表」及「心理幸福感量表」。各量表編製過程如下：

#### (一) 接觸干擾量表

##### 1. 量表內容與計分方式

本量表用來測量受試者之接觸干擾，適用於高一至大四學生。量表題目之編製，主要依據完形治療理論對各接觸干擾之描述，再參考 Kiracofe (1992) 實務諮商內容所歸納出之六類接觸干擾（減敏感、內射、投射、回射、折射與融合）及其內涵。因此，本量表分為六個分量表，每個分量表代表一種接觸干擾，包括：減敏感、內射、投射、回射、折射與融合。每個分量表編 5~6 題，共 35 題。量表形式為 Likert 之 4 點量表。

##### 2. 確立正式量表

Kiracofe (1992) 曾將所得資料進行因素分析，結果發現因素項目駁雜，理論所定義之描述，未必符合統計歸類。因此編製初步量表時，先將所編題目進行 unlimited 因素數目之因素分析。受試者共

284 人（男 121 人、女 163 人），高中職部分 122 人（男 52 人、女 70 人），大學部份 162 人（男 69 人、女 93 人）。

因素分析結果出現 12 因素，依據完形治療理論對各類接觸干擾之描述選取六個因素代表六種接觸干擾。由於本量表之信效度考驗，欲使用 SEM (structural equation Modeling) 統計方法進行，而 Kenny (1979) 建議潛在變項之觀察指標變項數目介於 2~4 題，因此每因素之題項以 2~4 題為原則。

取題時每題之因素負荷量皆為正值，不過，經計算六因素之相關中，「內射」與「投射」總分跟其他因素負相關，顯示不是所有因素皆同一方向。因此，進行各類接觸干擾之歷程及相關之思想、情緒及行為分析（如表 1 所示），以探討「內射」與「投射」跟其他因素為負相關之可能原因，作為修改之參考。

從表 1 分析可知，當事人在「內射」及「投射」歷程中，覺察焦點在社會期望之行為或貶低他人，因此跟其他類接觸干擾（貶低自我）之測量方向可能不同。

表 1 接觸干擾內在歷程與相關行為反應之分析摘要表

接觸干擾	內在歷程	當事人覺察到之思想、情緒或行為反應
內射	接收他人之想法、信念→壓抑自我之想法、信念（內射是其他五類接觸干擾之基礎）	1. 當事人覺察到之想法信念為內射之想法信念。 2. 覺察焦點放在內射之想法信念上，
投射	內射 真實自我 → 將真實自我轉嫁給他人。	1. 當事人只覺察到他人之思想信念行為。 2. 覺察焦點放在他人身上（例如我認為甲……。）
折射	內射 真實自我 → 不敢表達真實自我，而將注意力放在不重要地方。	1. 當事人覺察到的是折射後之行為。 2. 覺察焦點放在自己身上。
回射	內射 攻擊他人之真實衝動 → 轉向攻擊自己。	1. 當事人覺察到攻擊自我之行為，例如責罵自己。 2. 焦點放在自我身上。
減敏感	內射 真實自我 → 感受不到真實自我	1. 當事人覺察不到自己之想法、情緒。 2. 覺察焦點放在自己身上。
融合	內射 真實自我 → 模糊自己跟他人之區別（無法區分自我與他人之差別）	1. 當事人凡是依賴他人看法，感受不到自己跟他人之差別。 2. 覺察焦點在自己身上。

或許，這是 Kiracofe (1992) 研究中，各因素項目駁雜之可能原因之一。

為了使所有因素內涵同一方向，決定從其他因素選取能夠反映「內射」及「投射」內涵，且跟其他因素內涵同一方向之題目。6 個因素共 17 題。

量表之信效度考驗以驗證性因素分析進行。信效度考驗須包括三種檢定（黃芳銘，民 91；陳正昌、程炳林，民 83；Bagozzi & Yi, 1988）：模式基本契合度（外在契合度）、整體模式契合度與模式內在契合度。模式基本契合度與整體模式契合度涵蓋量表效度考驗之內涵，而內在契合度涵蓋量表信度考驗之內涵。

受試者共 575 人（男 268 人、女 307 人），高中職部分 230 人（男 115 人、女 115 人），大學部份 345 人（男 153 人、女 192 人）。

在資料常態分配考驗方面，雖然單變項常態分配考驗，有 4 個分量表之  $\chi^2$  考驗  $p < .05$ ，但所有分量表之偏態絕對值 (-.20 ~ .36) 均未大於 3，峰度絕對值 (-.25~.89) 均未大於 10，且多元常態性檢驗之 Mardia 係數為 1.24，未大於 3，可視為常態性資料，故選用 ML 估計法（林重岑，民 92；Dudley, 1996; Kline, 1998）。結果呈現於圖 4 及表 2。

就基本契合度來看，較重要之模式基本契合標準有以下幾項（陳正昌、程炳林，民 83；Bagozzi & Yi, 1988）：（1）不能有負的誤差變異，（2）誤差變異必須達顯著水準，（3）估計參數之間相關的絕對值不能太接近 1，（4）因素負荷量不能太低（低於 .5）或太高（高於 .95），（5）不能有很大的標準誤。從表 2 及圖 4 來看，本量表完全符合基本契合標準。

表 2 「接觸干擾量表」驗證性因素分析契合度評鑑摘要表（N=575）

評鑑項目與結果	
一、基本契合度（模式外在契合度）	
1. 是否沒有負的誤差變異？	是
2. 誤差變異是否都達顯著水準？	是（ $t$ 值介於 3.95~17.83）
3. 參數間相關是否未太接近 1.00？	是（各參數間相關絕對值小於 .72）
4. 因素負荷量（ $\lambda$ 值）是否大於 .50？	是（見圖 4）
5. 是否沒有很大的標準誤？	是
二、整體模式之契合度	
1. 絕對契合度： $\chi^2(104)=269.14$ ( $p < .05$ )， $\chi^2/df=2.59$ GFI=.95 RMSEA=.05 AGFI=.92	
2. 增值契合度：NFI=.90 NNFI=.91 CFI=.93	
3. 精簡契合度：PGFI=.64（PGFI 值須大於 .50）	
三、模式內在契合度	
1. 個別指標信度（ $R^2$ ）：介於 .26~.73	
2. 潛在變項之組成信度：減敏感=.58，內射=.80，投射=.60，回射=.79，折射=.67，融合=.70	
3. 潛在變項平均變異抽取量：減敏感=.32，內射=.51，投射=.34，回射=.66，折射=.41，融合=.44	
4. 所有估計之參數是否都達顯著水準？	是（ $t$ 值介於 10.72~18.58）
5. 標準化殘差絕對值是否都小於 2.58？	在 136 個絕對數值中，88.24% 小於 2.58
6. Q-plot	斜率約 45 度角且呈直線

就整體模式來看，整體模式契合度類型可分為絕對契合度、增值契合度及精簡契合度。在絕對契合度指標中， $\chi^2$  最常被提及，但是  $\chi^2$  容易受到樣本數大小之影響，因此必須加入其他絕對契合度指標，例如 GFI 常被使用在研究報告中，GFI 大於 .90 表示有理想之契合度。RMSEA 是以母群為基礎之適合度指數，不受樣本數大小之影響，被認為最能提供資訊之契合度指數之一（Diamantopoulous & Siguaw, 2000）。RMSEA .05~.08 為相當契合，.08~.10 為中度契合，大於 .10 以上者為不契合（Quintana & Maxwell, 1999）。在增值及精簡契合度中，常被使用之指標例如 NFI、CFI、AGFI、PGFI。前三者之值須大於 .90，而 PGFI 值則需大 .50。從表 2 可知，整體模式契合度指數，都在可接受範圍內。

就模式內在契合度來看，Bagozzi 與 Yi（1988）採用比較嚴格標準，要求個別指標信度須大於 .50，亦即標準化係數須大於 .70。這種嚴格標準，常使得所建構之指標無法達到要求，連帶地也使得結構模式係數的解釋產生問題（黃芳銘，民 91）。因此，黃芳銘（民 91）認為 Bollen（1989）雖未明確提到任何判斷標準，但是其書中反映出只要  $t$  值達顯著， $R^2$  便可以接受。依此標準，本量表潛在變項各觀察指標之  $t$  值（10.72~18.58）皆達顯著水準，表示  $R^2$  皆在可接受範圍內。

在組成信度上，除了「減敏感」之組成信度未達 .60 外，其他皆達標準。至於殘差部分較不理想，將在討論部分說明。總而言之，本量表有可接受之信效度。

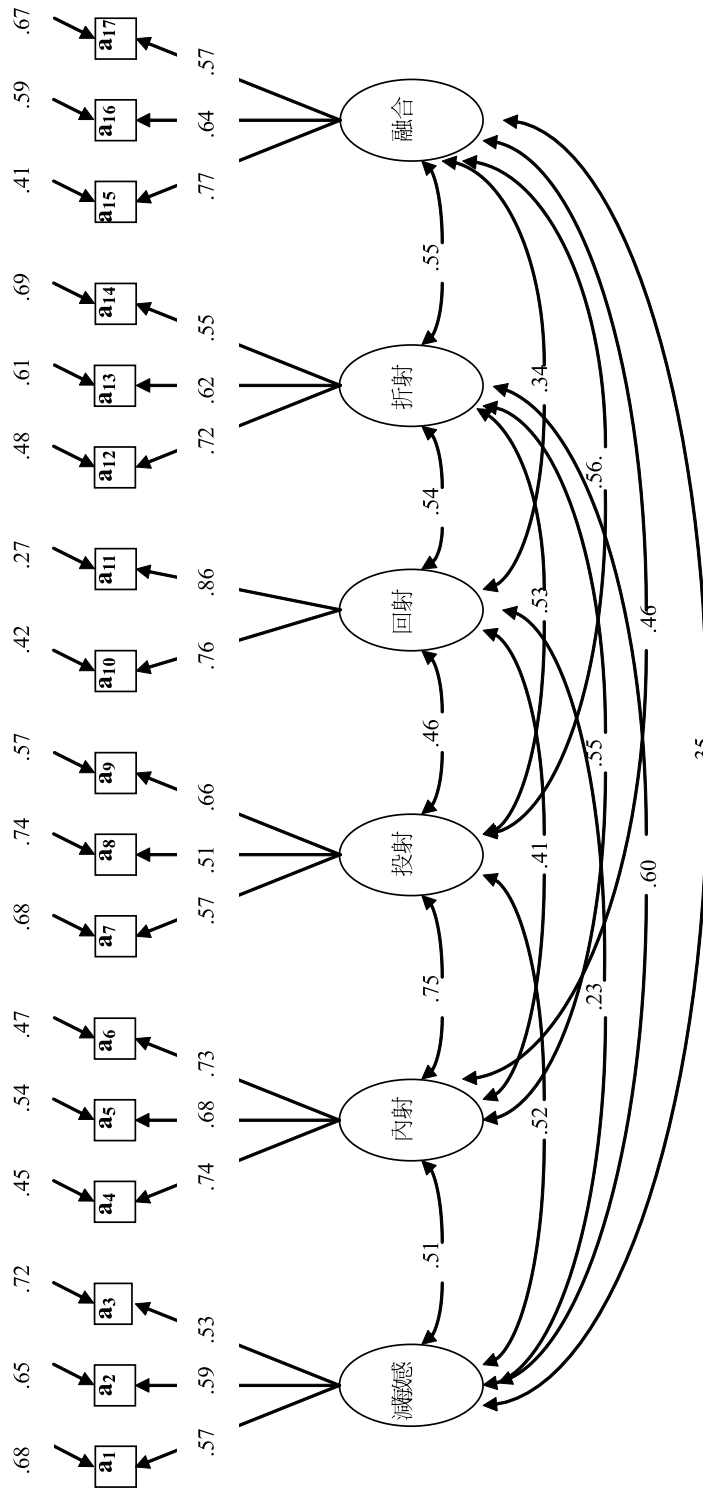


圖 4 「接觸干擾量表」測量模式圖

(二) 情緒表達壓抑量表

1. 量表內容與計分方式

情緒表達抑制量表，是用來測量受試者情緒表達衝動之壓抑，即本研究所謂「未完成事件」，適用於高一至高三學生。本量表之編製，乃參考 King 與 Emmons (1990) 所編「情緒表達衝突量表 (the Ambivalence Over Emotional Expression Questionnaire)」之內涵及架構。King 與 Emmons(1990) 所編之量表並未進一步分析其因素，但建議未來編者將受壓抑之情緒分為正負兩類情緒。

本量表依 King 與 Emmons (1990) 之建議，將受壓抑之情緒分為正負兩類，正面情緒 13 題，負面情緒有 10 題。量表形式為 Likert 之 5 點量表。

2. 確立正式量表

以因素分析作為選取因素及題目之依據，受試者為高中職生共 163 人 (男 67 人、女 96 人)。因素分析結果得 6 因素，但題目大部分集中於 3 個因素上。以因素負荷量大 .30 為取題標準，正面情緒取兩因素，負面情緒取一因素。每因素題數以 2~4 為原則，若第 5 題因素負荷量大於 .40 才被納入。三因素分別命名為：對自己之正面情緒、負面情緒、對他人之正面情緒。

信效度考驗以驗證性因素分析進行考驗。受試者為高中職生共 304 人 (男 138 人，女 166 人)。在資料常態分配考驗方面，只有「對他人之正面情緒」因素單變項常態分配  $\chi^2$  考驗  $p < .05$ 。因所有分量表之偏態絕對值 (-.20 ~ .13) 均未大於 3，峰度絕對值 (-.60 ~ -.07) 均未大於 10，多元常態性檢驗之 Mardia 係數為 1.15，未大於 3，可視為常態資料，故選用 ML 估計法 (林重岑，民 92；Dudley, 1996; Kline, 1998)。驗證性分析結果呈現於圖 5 與表 3。從圖 5 與表 3 可知，本量表之基本契合度、整體契合度與內在契合度都在可接受範圍，亦即本量表有可接受之信效度。

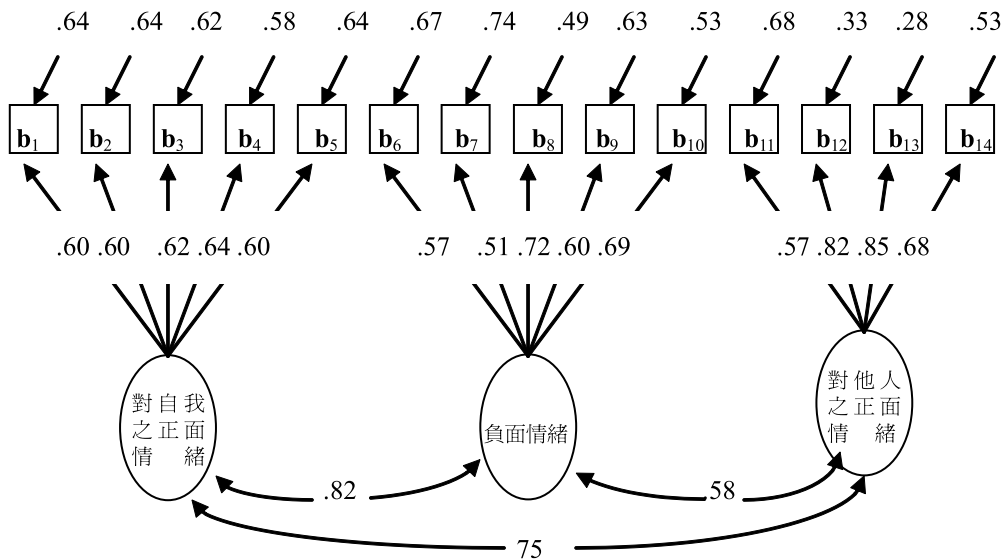


圖 5 「情緒表達壓抑量表」測量模式圖

表 3 「情緒表達壓抑量表」驗證性因素分析契合度評鑑摘要表 (N=304)

評鑑項目與結果	
一、基本契合度 (模式外在契合度)	
1. 是否沒有負的誤差變異?	是
2. 誤差變異是否都達顯著水準?	是 ( $t$ 值介於 7.26~11.43)
3. 參數間相關是否未太接近 1.00?	是 (各參數間相關絕對值小於 .4)
4. 因素負荷量 ( $\lambda$ 值) 是否大於 .50?	是 (見圖 5)
5. 是否沒有很大的標準誤?	是
二、整體模式之契合度	
1. 絕對契合度: $\chi^2(74)=150.15$ ( $p < .05$ ), $\chi^2 / df=2.03$ GFI=.93 AGFI=.91 RMSEA=.06	
2. 增值契合度: NFI=.90 NNFI=.93 CFI=.95	
3. 精簡契合度: PGFI=.66 (PGFI 值須大於 .50)	
三、模式內在契合度	
1. 個別指標信度 ( $R^2$ ): 介於 .32~.72	
2. 潛在變項之組成信度: 對自己之正面情緒 =.75, 負面情緒 =.76, 對他人之正面情緒 =.82	
3. 潛在變項平均變異抽取量: 對自己之正面情緒 =.38, 負面情緒 =.39, 對他人之正面情緒 =.62	
4. 所有估計之參數是否都達顯著水準?	是 ( $t$ 值介於 8.71~17.15)
5. 標準化殘差絕對值是否都小於 2.58?	在 91 個絕對數值中, 92.31% 小於 2.58
6. Q-plot	斜率約 45 度角且呈直線

### (三) 心理幸福感量表

#### 1. 量表內容與計分方式

心理幸福感量表之編製乃依據 Ryff (1989) 心理幸福感理論及其描述, 共有六個分量表, 分別為自我接受、與他人積極關係、自律、掌控環境、生命目的、個人成長。每個分量表 5 題, 適用於高一至高三學生。量表形式為 Likert 之 5 點量表。

#### 2. 確立正式量表

項目分析受試者為高中職生共 163 人 (男 67、女 96)。依據項目分析結果, 保留鑑別力指數大於 3 之題目, 六個分量表共保留共 26 題。

量表信效度考驗以驗證性因素分析進行考驗。受試者為高中職生共 417 人 (男 184 人、女 233 人)。在資料常態分配考驗方面, 6 個分量表之單變項常態分配  $\chi^2$  考驗皆是  $p > .05$ , 多元常態性檢驗之 Mardia 係數為 1.18, 未大於 3, 可視為常態資料, 故選用 ML 估計法 (Dudley, 1996)。驗證性分析結果呈現於圖 6 與表 4。從圖 6 與表 4 可知, 量表之基本契合度、整體契合度與內部契合度都在可接受範圍, 亦即本量表有可接受之信效度。

表 4 「心理幸福感量表」驗證性因素分析契合度評鑑摘要表 (N=417)

評鑑項目與結果	
一、基本契合標準 (模式外在品質)	
1. 是否沒有負的誤差變異?	是
2. 誤差變異是否都達顯著水準?	是 ( $t$ 值介於 9.93~12.95)
3. 參數間相關是否未太接近 1.00?	是 (各參數間相關絕對值小於 .04)
4. 因素負荷量 ( $\lambda$ 值) 是否大於 .50?	是 (見圖 6)
5. 是否沒有很大的標準誤?	是
二、整體模式之契合標準	
1. 絕對契合度: $\chi^2(284)=507.48$ ( $p < .05$ ), $\chi^2/df=1.79$ GFI=.92 AGFI=.90 RMSEA=.04	
2. 增值契合度: NFI=.90 NNFI=.95 CFI=.95	
3. 精簡契合度: PGFI=.74 (PGFI 值須大於 .50)	
三、模式內在品質	
1. 個別指標信度 ( $R^2$ ): 介於 .35~.66	
2. 潛在變項之組成信度:	
自我接受 =.79 與他人積極關係 =.66 自律 =.71 掌控環境 =.83 生命目的 =.84 個人成長 =.85	
3. 潛在變項平均變異抽取量:	
自我接受 =.44 與他人積極關係 =.44 自律 =.43 掌控環境 =.52 生命目的 =.54 個人成長 =.55	
4. 所有估計之參數是否都達顯著水準?	是 ( $t$ 值介於 11.76~19.35)
5. 標準化殘差絕對值是否都小於 2.58?	在 297 個絕對數值中, 91.25% 小於 2.58
6. Q-plot	斜率 45 度角以上且成直線

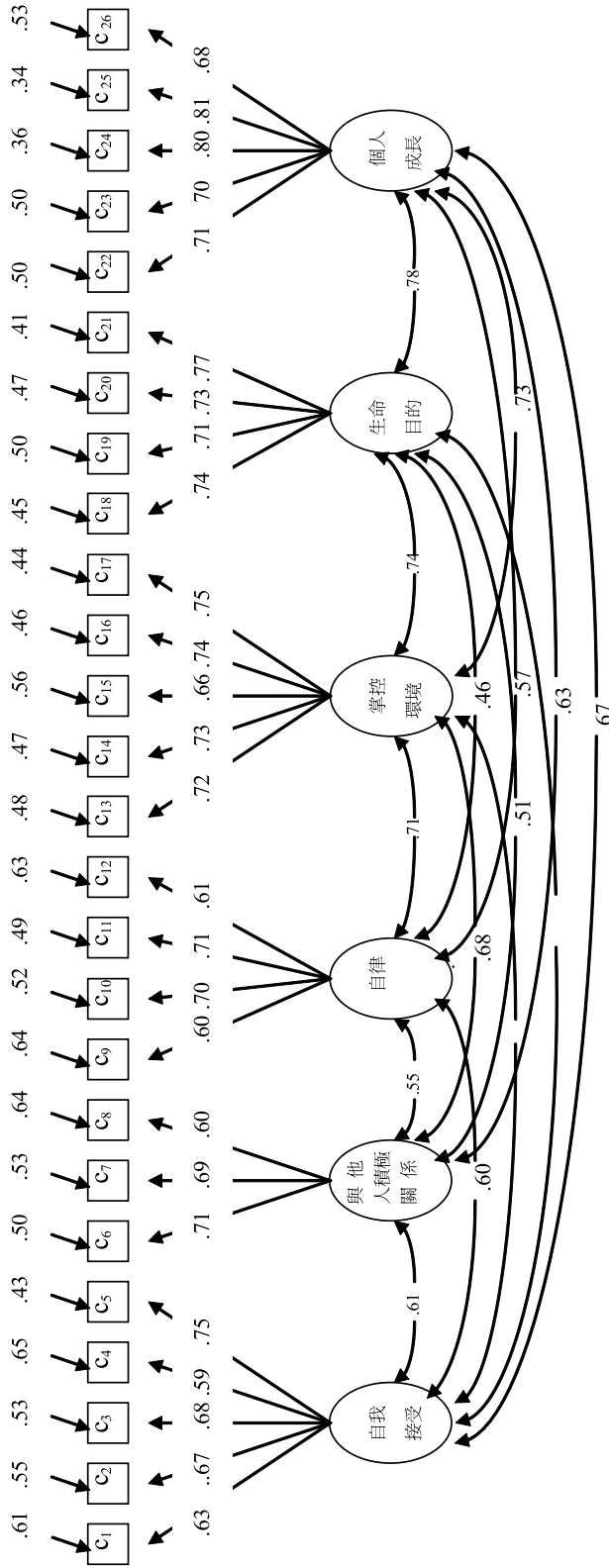


圖 6 「心理幸福感量表」測量模式圖

## 結 果

資料以 SEM 考驗接觸干擾、未完成事件及心理幸福感之因果模式。

### 一、修正前因果模式之分析結果

#### (一) 資料常態性考驗

在 15 個單變項常態分配考驗中，雖然「檢敏感」「內射」、「投射」、「對他人之正面情緒」及「掌控環境」之單變項常態分配  $\chi^2$  考驗  $p < .05$ ，但是所有分量表之偏態絕對值 (-.20~.68) 均未大於 3，峰度絕對值 (-.5~1.26) 均未大於 10，而且 Mardia 係數 1.13，未大於 3，可視為常態資料 (Dudley, 1996; Kline, 1998)，因此採用 ML 估計法估計參數。

#### (二) 模式基本契合度與整體契合度

相關係數矩陣如表 5 所示，因果模式估計參數顯著性考驗及標準化數值如表 6 所示，而修正前因果模式路徑圖如圖 7 所示。

模式之基本契合度方面，從表 6 及圖 7 來看，(1) 沒有負的誤差變異。(2) 誤差變異都達顯著水準。(3) 估計參數之間相關絕對值沒有接近 1。(4) 除了  $\lambda_{x_{11}}$ 、 $\lambda_{y_{51}}$  外，觀察指標變項因素負荷量皆高於 .5，低於 .95。(5) 沒有很大的標準誤。資料結果大部分符合重要之模式基本契合標準。

至於整體契合度及模式內在契合度不甚理想 (見表 7 及表 8)。不過，不能由此結果推論資料模式不符合理論模式。第一，未完成事件之形成雖與六種接觸干擾有關，但是不必六種接觸干擾匯集，任何一種接觸干擾都可造成未完成事件。

之所以將六種接觸干擾形成一量表，是因為每位受試者慣用之接觸干擾類型不同，而且慣用之接觸干擾可能一種以上。六種接觸干擾匯集成一量表，較能反映出生活真實狀況。

第二，每一類型之未完成事件，可能跟特定類型之接觸干擾有關。例如某些情緒在受試者覺察之外，受試者也感受不到壓抑情緒。本研究之未完成事件通常在受試者覺察之內 (亦即受試者知道自己有情緒出現並且壓抑情緒)，這也就是為何研究中「減敏感」指標變項之標準化因素負荷量比其指標變項小之原因。

第三，雖然「內射」被認為是接觸干擾之一種，但是從表 1 (接觸干擾內在歷程與相關行為反應之分析) 可知，「內射」當事人所覺察到的只是內射之信念或想法，真實自我部分已透過其他接觸干擾加以處理而以不同風貌呈現。測量工具中，投射、回射、折射、減敏感、融合測量之內涵是真實自我經過處理後之風貌，而跟「內射」測量到之內涵可能不同。

再者 Bollen (1984) 認為潛在變項中的「原因指標 (cause-indicators)」與「效果指標 (effect-indicators)」不宜為同一潛在變項之指標。基本上各指標間應有正相關，但這種情形只有針對「效果指標」而言，對「原因指標」不必然如此，可能為正、負或零相關。從表 1 分析中可知，「內射」可能屬於「原因指標」，而其他接觸干擾可能為「效果指標」。因此，兩者不宜在同一潛在變項上。

第四，「投射」當事人覺察之焦點及內涵以他人為主，跟回射、折射、減敏感、融合等接觸干擾不同。雖然在編製接觸干擾量表過程中，「內射」與「投射」之覺察方向已經過調整，但模式資料之殘差矩陣中，「內射」跟「投射」之殘差值為 6.64，顯示兩變項有共變情形，「內射」與「投射」在本質上可能較相近，而跟其他接觸干擾不同。

第五，本研究中之未完成事件 (情緒表達壓抑)，基本上受試者已覺察到自己壓抑情緒 (即已覺察到真實自我)，而「內射」及「投射」之當事人覺察焦點非真實自我。如果將「內射」及「投射」跟其他接觸干擾列在同一潛在變項，可能混淆研究結果。

表 5 接觸干擾、未完成事件與心理幸福感因果模式各變項之相關矩陣

變數	1	2	3	4	5	6	7	8	9	10	11	12	13	14	15
1. 敏感感	—														
2. 內射	.361	—													
3. 投射	.317	.542	—												
4. 回射	.197	.289	.296	—											
5. 折射	.360	.336	.424	.364	—										
6. 融合	.259	.278	.340	.347	.506	—									
7. 正面情緒 (1)	.247	.312	.355	.460	.404	.371	—								
8. 負面情緒	.216	.307	.367	.376	.331	.367	.563	—							
9. 正面情緒 (2)	.146	.180	.237	.308	.342	.270	.559	.485	—						
10. 自我接受	-.259	-.481	-.463	-.298	-.289	-.319	-.248	-.256	-.134	—					
11. 與他人積極關係	-.245	-.332	-.245	-.156	-.188	-.087	-.234	-.227	-.151	.383	—				
12. 自律	-.147	-.160	-.210	-.251	-.333	-.422	-.128	-.182	-.144	.436	.146	—			
13. 掌控環境	-.176	-.326	-.320	-.305	-.306	-.366	-.306	-.221	-.163	.593	.345	.505	—		
14. 生命目的	-.231	-.499	-.457	-.280	-.228	-.253	-.209	-.209	-.104	.657	.356	.318	.526	—	
15. 個人成長	-.218	-.268	-.229	-.151	-.212	-.281	-.162	-.125	-.087	.537	.385	.487	.553	.482	—
平均數	5.691	6.606	7.016	5.406	6.705	7.180	15.074	15.424	13.472	17.016	10.853	14.111	15.923	12.214	18.915
標準差	1.643	2.125	1.583	1.318	1.684	1.958	3.565	3.725	3.708	3.373	2.145	2.803	3.057	3.011	3.429

表 6 修正前後因果模式估計參數顯著性考驗及標準化數值摘要表

參數	非標準化參數值		標準誤		t 值		標準化數值	
	修正前	修正後	修正前	修正後	修正前	修正後	修正前	修正後
$\lambda_{x_{11}}$	1.00	1.00	—	—	—	—	.47	.42
$\lambda_{x_{21}}$	1.62	刪除	.21	刪除	7.90*	刪除	.59	刪除
$\lambda_{x_{31}}$	1.33	刪除	.16	刪除	8.28*	刪除	.65	刪除
$\lambda_{x_{41}}$	.95	1.10	.12	.16	7.66*	6.95*	.55	.58
$\lambda_{x_{51}}$	1.49	1.71	.18	.23	8.45*	7.44*	.68	.71
$\lambda_{x_{61}}$	1.55	1.84	.19	.25	8.03*	7.28*	.61	.65
$\lambda_{y_{11}}$	1.00	1.00	—	—	—	—	.79	.81
$\lambda_{y_{21}}$	.94	.91	.07	.07	13.37*	13.33*	.71	.70
$\lambda_{y_{31}}$	.84	.84	.07	.07	12.10*	12.55*	.64	.66
$\lambda_{y_{41}}$	1.00	1.00	—	—	—	—	.81	.82
$\lambda_{y_{51}}$	.37	.38	.04	.04	9.56*	9.85*	.47	.49
$\lambda_{y_{61}}$	.58	刪除	.05	刪除	11.54*	刪除	.56	刪除
$\lambda_{y_{71}}$	.85	.81	.05	.05	16.23*	15.53*	.76	.74
$\lambda_{y_{81}}$	.80	.81	.05	.05	15.46*	15.84*	.73	.75
$\lambda_{y_{91}}$	.87	.83	.06	.06	14.69*	14.10*	.70	.68
$\gamma_{11}$	2.91	3.23	.35	.45	8.22*	7.22*	.80	.78
$\beta_{21}$	-.48	-.42	.06	.06	-8.30*	-7.45*	-.49	-.44
$\delta_1$	2.11	2.22	.15	.16	13.77*	13.75*	.78	.82
$\delta_2$	2.95	刪除	.23	刪除	12.93*	刪除	.65	刪除
$\delta_3$	1.45	刪除	.12	刪除	12.25*	刪除	.58	刪除
$\delta_4$	1.20	1.16	.09	.09	13.22*	14.47*	.69	.67
$\delta_5$	1.52	1.43	.13	.14	11.77*	10.22*	.54	.50
$\delta_6$	2.41	2.19	.19	.19	12.73*	11.33*	.63	.57
$\Phi$	.59	.48	.13	.12	4.67*	4.05*		
$\varepsilon_1$	4.82	4.41	.53	.53	9.17*	8.34*	.38	.35
$\varepsilon_2$	6.90	7.03	.61	.62	11.27*	11.35*	.50	.51
$\varepsilon_3$	8.19	7.83	.66	.64	12.44*	12.15*	.60	.57
$\varepsilon_4$	3.86	3.64	.38	.39	10.08*	9.22*	.34	.32
$\varepsilon_5$	3.57	3.50	.25	.25	14.04*	13.92*	.77	.76
$\varepsilon_6$	5.36	刪除	.39	刪除	13.63*	刪除	.68	刪除
$\varepsilon_7$	3.95	4.27	.34	.37	11.45*	11.64*	.42	.46
$\varepsilon_8$	4.26	3.95	.35	.35	12.04*	11.36*	.47	.44
$\varepsilon_9$	6.06	6.39	.48	.51	12.49*	12.57*	.52	.54
$\zeta_1$	2.89	3.25	.51	.59	5.60*	5.54*	.37	.39
$\zeta_2$	5.72	6.27	.63	.68	9.05*	9.25*	.76	.81

\* 代表  $p < .05$

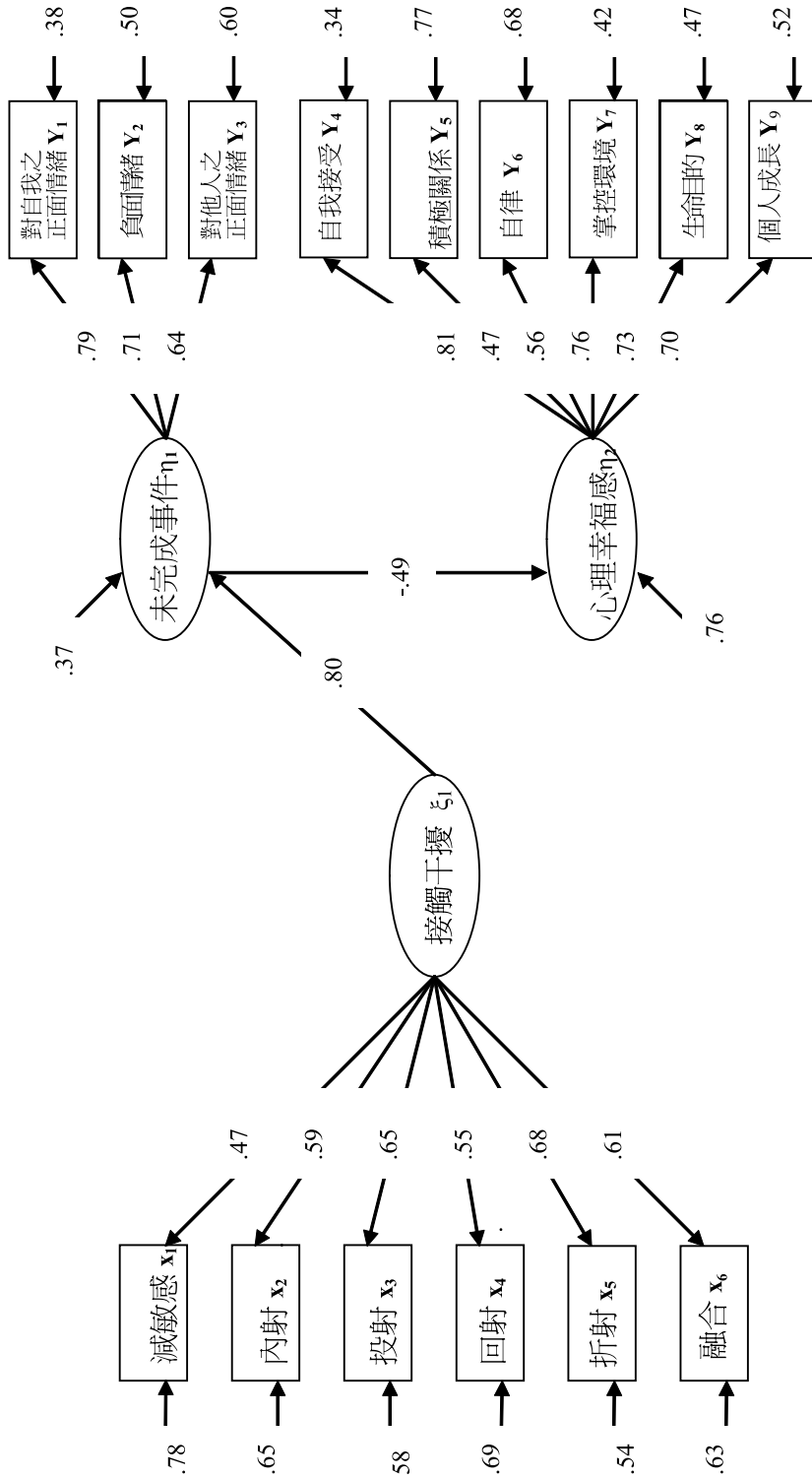


圖 7 修正前「接觸干擾、未完成事件與心理幸福感因果模式」徑路圖

此外，「投射」跟「心理幸福感」潛在變項中之「自我接受」、「生命目的」之殘差值為 -7.27 與 -7.26，顯示「投射」在影響之路徑中有被高估之現象。當「投射」變項被刪除後，發現對「心理幸福感」潛在變項之其他指標變項都沒有影響。

第六，栗珍鳳（民 88）研究發現：大學生自律、信任之發展愈佳，友愛親密之發展則愈低。這種結果似乎說明「自律」及「與他人積極關係」兩變項有某種程度之不相容。「自律」與「與他人之積極關係」兩者之衝突現象也出現在國外研究上，例如 Luborsky 與 Crits-Christoph（1998），Robins、John、Caspi、Moffitt 與 Stouthamber-Loeber（1996）。

本研究目的在驗證完形治療理論中，接觸干擾、未完成事件與心理幸福感之因果模式，不在找出最佳之契合模式。對模式之修正，只依據理論反映之觀點、相關研究結果及文化因素（例如重視人際和諧）。因此，「內射」、「投射」及「自律」等觀察變項將在修正模式中刪除。

## 二、修正後因果模式之分析結果

修正模式之資料分析結果呈現於圖 8 及表 6、表 7、表 8。

表 7 因果模式考驗修正前與修正後之整體契合度指標摘要表 (N=434)

絕對契合度	$\chi^2$	$\chi^2_{diff}$	<i>df</i>	$\chi^2/df$	<i>GFI</i>	<i>AGFI</i>	<i>RMSEA</i>
修正前	464.03		88	5.27	.86	.81	.11
修正後	167.03		52	3.21	.94	.91	.07
修正前後 $\chi^2$ 比較	297	36	$p < .05$				
增值契合度	<i>NFI</i>	<i>NNFI</i>	<i>CFI</i>				
修正前	.81	.81	.84				
修正後	.90	.91	.93				
精簡契合度	<i>PGFI</i>						
修正前	.63						
修正後	.63 (PGFI 值須大於 .50)						

### (一) 模式基本契合度

模式之基本契合度方面，從表 6 及圖 8 來看，大部分符合重要之模式基本契合標準：(1) 沒有負的誤差變異、(2) 誤差變異都達顯著水準、(3) 估計參數之間相關的絕對值沒有接近 1（各估計參數間絕對值小於 .86）、(4) 除了  $\lambda_{x_{11}}$ 、 $\lambda_{y_{51}}$  外，指標變項因素負荷量皆高於 .5，低於 .95、(5) 沒有很大的標準誤。

### (二) 模式整體契合度

從表 7 可知，修正後模式在整體契合度上，優於修正前之模式，而且修正前與修正後之模式有顯著差異 ( $\chi^2=297$ ,  $p < .05$ )。

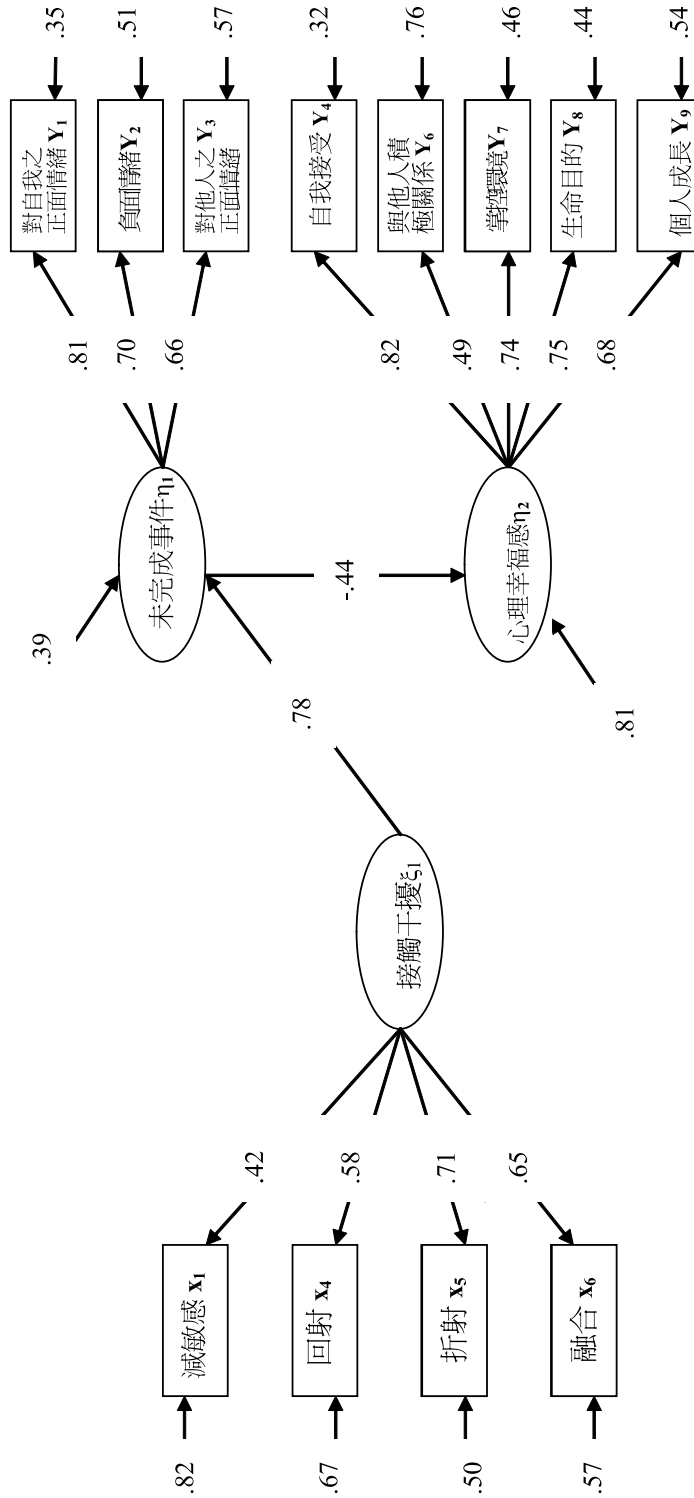


圖 8 修正後「接觸干擾、未完成事件與心理幸福感因果模式」徑路圖

表 8 模式修正前與修正後之測量模式契合度指標數值摘要表

變 項	個別指標信度 (即 $R^2$ )		潛在變項之 組成信度		潛在變項平均變異 抽取量	
	修正前	修正後	修正前	修正後	修正前	修正後
接觸干擾 ( $\xi_1$ )			.77	.69	.34	.36
減敏感 ( $X_1$ )	.22	.18				
內射 ( $X_2$ )	.35	刪除				
投射 ( $X_3$ )	.42	刪除				
回射 ( $X_4$ )	.31	.33				
折射 ( $X_5$ )	.46	.50				
融合 ( $X_6$ )	.37	.43				
未完成事件 ( $\eta_1$ )			.76	.84	.51	.53
對自我之正面情緒 ( $Y_1$ )	.62	.69				
負面情緒 ( $Y_2$ )	.50	.49				
對他人之正面情緒 ( $Y_3$ )	.40	.43				
心理幸福感 ( $\eta_2$ )			.84	.83	.47	.50
自我接受 ( $Y_4$ )	.66	.68				
與他人積極關係 ( $Y_5$ )	.23	.24				
自律 ( $Y_6$ )	.32	刪除				
掌控環境 ( $Y_7$ )	.58	.54				
生命目的 ( $Y_8$ )	.53	.56				
個人成長 ( $Y_9$ )	.48	.46				

### (三) 模式內在契合度

模式內在契合度包括兩個層面，一為測量模式之契合情形，二為結構模式之契合情形。

#### 1. 測量模式之契合情形

測量模式之契合度可以從因素負荷量、個別指標信度、成分信度量數、平均變異抽取量來表示。從表 6、表 8 可知，(1) 所有估計之因素負荷量  $t$  值皆達顯著水準。(2) 接觸干擾潛在變項中，由於「內射」與「投射」指標變項被刪除，因此潛在變項之組成信度降低。(3) 修正後模式之個別指標信度除「減敏感」、「負面情緒」、「掌控環境」、「個人成長」略降外，其他指標變項皆略升高。(4) 「接觸干擾」、「未完成事件」與「心理幸福感」潛在變項之組成信度量數及平均變異抽取量都有改善情形。(5) 各潛在變項之組成信度皆大於 .60。(6) 潛在變項平均變異抽取量，除了「接觸干擾」低於 .50 外，其他潛在變項高於或等於 .50。

從表 8 資料顯示，修正後測量模式之契合度在可接受之範圍內，而且修正後之模式，在某方面優於修正前之模式。

#### 2. 結構模式契合情形

從表 6 可知，結構參數 ( $\beta$ 、 $\gamma$ ) 之  $t$  值皆達 .05 之顯著水準，表示結構模式契合情形在可接受範圍。從圖 8 及表 6 可知，結構參數為  $\beta_{21}=.78$ ， $\gamma_{11}=-.44$ 。表示徑路因果關係強度在可接受範圍內。潛在變項「未完成事件 ( $\eta_1$ )」、「心理幸福感 ( $\eta_2$ )」之  $R^2$  值 (計算方法為：1—殘差變異量)，

分別為 .61、.19。表示「未完成事件」潛在變項能夠解釋「接觸干擾」潛在變項 61% 之變異量，而「心理幸福感」潛在變項能解釋「未完成事件」潛在變項 19% 之變異量。

為避免受到多元共線性問題影響，潛在變項間之相關應低於 .90（或 .80）。本研究之各潛在變項之相關如表 9 所示，表示沒有多元共線性問題。

表 9 模式中潛在變項之相關摘要表

	接觸干擾	未完成事件	心理幸福感
接觸干擾	1.00		
未完成事件	.78	1.00	
心理幸福感	-.34	-.44	1.00

### 3. 標準化殘差

資料中，最低標準化殘差為 -5.05，中數標準化殘差為 -.52，最大標準化殘差為 4.05，66 個殘差值中，70% 之殘差在 (-2.58) ~ (+2.58) 之間，表示不盡理想。

### (四) 效果

因果模式之直接與間接效果如表 10 所示。各潛在變項直接與間接影響之  $t$  值皆達顯著水準。「接觸干擾」對「未完成事件」潛在變項之直接影響效果修正前為 .80，修正後為 .78。對「心理幸福感」潛在變項之間接影響效果，修正前為 -.39，修正後為 -.34。 $\eta_1$  (未完成事件) 對  $\eta_2$  (心理幸福感) 之全體效果，穩定係數 (stability index) 修正前為 .23，修正後為 .18，未大於 1.00，表示兩者非雙向因果關係。換句話說，「未完成事件」潛在變項為「接觸干擾」與「心理幸福感」潛在變項之中介變項。

以上各結果顯示，刪除「內射」、「投射」與「自律」等觀察變項後，整體契合度有明顯改善，測量模式契合度稍有改善，對基本契合度及其他則沒有明顯影響。

表 10 模式潛在變項間直接及間接效果摘要表

潛在變項	直接效果				間接效果	
	接觸干擾		未完成事件		接觸干擾	
	修正前	修正後	修正前	修正後	修正前	修正後
未完成事件						
估計效果值	2.91	3.23				
標準誤	.35	.45				
$t$ 值	8.22*	7.22*				
標準化效果值	.80	.78				
心理幸福感						
估計效果值			-.48	-.42	-1.39	-1.36
標準誤			.06	.06	.22	.25
$t$ 值			-8.30*	-7.45*	-6.30*	-5.47*
標準化效果值			-.49	-.44	-.39	-.34

\*  $p < .05$

### (五) 統計考驗力

本研究修正模式自由度 52，樣本數 434，RMSEA=.07，為相當契合，但非完全契合，因此計算統計考驗力時採用近似契合標準。依據 MacCallum、Browne 與 Sugawara (1996) 所提供之統計考驗力參照數值，自由度 50，樣本數 400~500 間，近似契合統計考驗力數值介於 .979 ~ .997。又依其近似契合 .80 之統計考驗力，自由度 50 之最低樣本數為 214。本研究樣本數為最低標準之兩倍，統計考驗力可能介於 .979 ~ .997。

## 討論與建議

### 一、接觸干擾、未完成事件與心理幸福感因果模式考驗

第一，研究結果顯示，整體來說，接觸干擾、未完成事件與心理幸福感因果模式受到支持，亦即接觸干擾造成未完成事件，而未完成事件影響當事人之心理幸福感，未完成事件為接觸干擾與心理幸福感之中介變項。

即使接觸干擾潛在變項只由四個觀察變項（減敏感、回射、折射與融合）代表，不過跟未完成事件之關係強度達 .78，後者解釋前者之變異量達之 61%，顯示支持理論所言兩者關係密切。

未完成事件跟心理幸福感兩潛在變項之關係強度為 .44，後者解釋前者之變異量為 19%，顯示結果雖然支持未完成事件跟心理幸福感之關係，不過，未來研究可改採其他變項取代心理幸福感變項，看看是否可以有更理想之結果。

第二，由於本研究受試者人數有限，無法進行修正後之模式複核，建議未來研究加入該部分檢驗。第三。由於 SEM 統計分析須大量樣本人數，建議未來研究在樣本人數可再增加，包括量表編製方面。

### 二、接觸干擾潛在變項之結構

本研究結果反映出幾個跟接觸干擾潛在變項結構有關之問題，值得進一步說明，以作為未來研究之參考。

第一，接觸干擾潛在變項之平均變異抽取量只有 .36，顯示透過「減敏感」、「回射」、「折射」與「融合」觀察變項，只能測量到 36%「接觸干擾」潛在變項。可能原因如下：接觸干擾可能不止包括研究中所提六種。從相關文獻發現，不同學者對所謂「接觸干擾」之類別，有不同看法。例如 Clarkson(1989) 將接觸干擾分為七種，除了研究中六種外，外加「自大 (egotism)」。Swanson(1988) 將接觸干擾分為九種，並區分為「界限過程 (boundary process)」與「界限狀態 (boundary states)」兩大類型。「界限過程」包括內射、折射、投射、回射、趨射 (profection)、固著、減敏感，而「界限狀態」分為孤立與融合。「界限狀態」由不同類型之「界限過程」結合所成。例如「融合」由「固著、內射與回射」三者結合而成，而「孤立」由「折射、投射與回射」三者結合而成。

除了 36% 平均變異抽取量反映出「接觸干擾」之類別有必要釐清外，研究結果中另兩種現象也反映出以上問題。「接觸干擾」量表之殘差矩陣中，只有 88.24% 絕對數值小於 2.58，顯示某些題目間另有其他共同因素；在因果模式殘差矩陣中，「接觸干擾」各觀察變項之殘差，跟「未完成事件」與「心理幸福感」各觀察變項之殘差也有相關存在，因此只有 70% 絕對數值小於 2.58。

從以上三點反映出，接觸干擾之類型可能不止研究中所提之六種。

第二，當「內射」與「投射」觀察變項從模式中刪除後，整體契合度有顯著性改善，而間接效果與直接效果沒有顯著性降低。似乎反映出以上兩變項在研究中沒有明顯作用，可能原因有三，(1) 研

究中「未完成事件」只跟「減敏感」、「回射」、「折射」與「融合」等觀察指標變項關係較密切；(2) 量表中之題目內容無法反映「內射」與「投射」之特徵；(3) 「內射」與「投射」跟其他接觸干擾分屬不同之心理歷程，須歸屬於不同潛在變項。對以上問題之瞭解，有待進一步研究釐清。

第三，研究中，跟「未完成事件」潛在變項關係最密切的「接觸干擾」觀察指標變項為「融合」與「折射」。Caffaro (1990) 曾將 The Gestalt Contact Style Questionnaires 之題目進行因素分析，得出兩個因素結構，分別為「融合」與「折射」。是否「接觸干擾」可以分為「融合」與「折射」兩大結構，有必要進一步探討。

這些複雜之關係，如果未釐清，便無法編製清楚歸屬於各種接觸干擾之題目。未來編製「接觸干擾」量表時，除了考慮上述之各種要項外，還應將「原因指標」與「效果指標」題目或因素分開。

### 三、心理幸福感潛在變項之結構

不管國內外皆有研究顯示，自律變項在某種程度上不利積極人際關係之建立。未來這兩個變項是否可歸屬於同一潛在變項，須要進一步思考。此外，國內也編有心理幸福感量表，未來研究可採用國內所編量表，探討研究結果是否與本研究結果類似。

除以上所提各點外，因受限於受試者人數，無法進行男女比較。雖然理論文獻上，未說明男女之間可能有所差異，但是父母對男女之管教方式與社會對男女之期望不同，是否男女因此使用不同接觸干擾處理情緒問題？男女處理情緒問題時，若方式不同，是否形成之「未完成事件」也有所差異？再者，男女處理正面與負面情緒時，是否使用不同之接觸干擾？

以上由本研究所衍生之各類問題值得進一步探討，以驗證及擴展完形治療理論。

## 參 考 文 獻

- 朱玲億、林美薰、李立維、趙家琛、李島鳳、游淑瑜、周士雍合譯 (民 89)：當代心理治療的理論與實務。台北：心理。CORSONI, R. J., & WEDDING, D. (1994). *Current psychotherapies*.
- 林重岑 (民 92)：高中職學生自我調節學習的結構模式分析。國立彰化師範大學教育研究所碩士論文。
- 金樹人 (民 89)：完形諮商法。載於周文欽、賴保禎、金樹人、張德聰 (編著)：諮商理論 (155-198 頁)。台北：國立空中大學。
- 孫兆均 (民 93)：情傷經驗者在完形取向諮商中的改變歷程研究。國立高雄師範大學輔導研究所碩士論文。
- 黃芳銘 (民 91)：結構方程模式理論與應用。台北：五南。
- 栗珍鳳 (民 88)：大學生自我分化和心理社會發展之相關研究。國立台灣師範大學教育心理與輔導研究所碩士論文。
- 陳正昌、程炳林 (民 83)：SPSS、SAS、BMDP 統計軟體在多變量統計上的應用。台北：五南
- 陳金定 (民 90)：諮商技術。台北：心理。
- 陳金定 (民 94)：完形治療理論—症狀之形成與治療改變之歷程。輔導季刊，41 卷，2 期，54-63 頁。
- 詹淑瑗 (民 91)：「完形取向團體方案」對害羞國小兒童輔導效果之分析研究。國立台北師範學院教育心理與輔導研究所碩士論文。
- Bagozzi, R. P., & Yi, Y. (1988). On the evaluation of structural equation in experimental designs. *Journal of the Academy of Marketing Science*, 16, 74-94.
- Baumeister, R., & Tice, C. (1987). Emotion and self-presentation. In R. Hogan & W. H. Jones (Eds.),

- Perspectives on personality* (Vol.2, pp. 181-200). Greenwich, CT: JAI Press.
- Bollen, K. A. (1984). Multiple indicators: Internal consistency or no necessary relationship? *Quality and Quantity*, 18, 377-385.
- Bollen, K. A. (1989). *Structural equations with latent variables*. New York: Wiley.
- Caffaro, J. V. (1990). A factor analytic study of the Gestalt contact boundary styles among professional Gestalt therapists. *Dissertation Abstracts International*, 50(12), 5875B. (UMI No. 9015329)
- Clarkson, P. (1989). *Gestalt counseling in action*. New Delhi: Sage.
- Diamantopoulos, A., & Siguaaw, J. A. (2000). *Introducing LISREL: A guide for the uninitiated*. New Delhi: Sage.
- Dudley, B. (1996). Common problems in structural modeling. Retrieved November 3, 2002, from <http://www.arts.auckland.ac.nz/edu/staff/jhattie/Preparingsem.html>.
- Emmons, R. A., & King, L. A. (1988). Personal striving conflict: Immediate and long-term implication for psychological and physical well-being. *Journal of Personality and Social Psychology*, 54, 1040-1048.
- Epstein, S. (1982). Conflict and stress. In L. Golderger & S. Breznitz (Eds.), *Handbook of stress* (pp. 49-68). New York: Free Press.
- Greenberg, M. A., & Stone, A. A. (1992). Writing about disclosed versus undisclosed traumas: Immediate and long-term effects on mood and health. *Journal of Personality and Social Psychology*, 63, 75-84.
- Gross, J. J. (1998). Antecedent-and response-focused emotion regulation: Divergent consequences for experience, expression, and physiology. *Journal of Personality and Social Psychology*, 74, 224-237.
- Gross, J. J. (1999). Emotion and emotion regulation. In L. A. Pervin & O. P. John (Eds.), *Handbook of personality: Theory and research* (2nd ed., pp. 525-552). New York: Guilford Press.
- Gross, J. J., & John, O. P. (2003). Individual differences in two emotion regulation processes: Implications for affect, relationships, and well-being. *Journal of Personality and Social Psychology*, 85, 348-362.
- Gross, J. J., & Levenson, R. W. (1997). Hiding feelings: The acute effects of inhibiting negative and positive emotion. *Journal of Abnormal Psychology*, 106, 95-103.
- Kenny, D. A. (1979). *Correlation and causality*. New York: Wiley.
- King, L. A., & Emmons, R. A. (1990). Conflict over emotional expression: Psychological and physical correlates. *Journal of Personality and Social Psychology*, 58, 864-877.
- Kiracofe, N. L. (1992). *A process analysis of gestalt resistances in individual psychotherapy*. Ann Arbor, MI: A Bell & Howell Information Company.
- Kline, R. B. (1998). *Principles and practice of structural equation modeling*. New York: Guilford Press.
- Korb, M. P., Gorrell, J., & Van De Riet, V. (1989). *Gestalt therapy practice and theory*. New York: Pergamon.
- Luborsky, L., & Crits-Christoph, P. (1998). *Understanding transference: The core conflictual relationship theme method* (2nd ed.). Washington, DC: American Psychological Association.
- MacCallum, R. C., Browne, M. W., & Sugawara, H. M. (1996). Power analysis and determination of sample size for covariance structure modeling. *Psychological Methods*, 1, 130-149.
- Pennebaker, J. W., & Beall, S. K. (1986). Confronting a traumatic event: Toward an understanding of inhibition and disease. *Journal of Abnormal Psychology*, 95, 274-281.
- Pennebaker, J. W., Hughes, C. F., & O'Heeron, R. C. (1987). The psychophysiology of confession: Linking inhibitory and psychosomatic processes. *Journal of Personality and Social Psychology*, 52, 781-793.
- Quintana, S. M., & Maxwell, S. E. (1999). Implications of recent developments in structural equation

- modeling for counseling psychology. *The Counseling Psychologist*, 27, 485-527.
- Richards, J. M., & Gross, J. J. (2000). Emotion regulation and memory: The cognitive costs of keeping one's cool. *Journal of Personality and Social Psychology*, 79, 410-424.
- Robins, R. W., John, O. P., Caspi, A., Moffitt, T. E., & Stouthamber-Loeber, M. (1996). Resilient, overcontrolled, and undercontrolled boys: Three replicable personality types. *Journal of Personality and Social Psychology*, 70, 157-171.
- Ryff, C. D. (1989). Happiness is everything, or is it? Explorations on the meaning of psychological well-being. *Journal of Personality and Social Psychology*, 57, 1069-1081.
- Smith, E. W. L. (1988). Self-interruptions in the rhythm of contact and withdrawal. *The Gestalt Journal*, XI (2), 37-59.
- Swanson, J. L. (1988). Boundary processes and boundary states: A proposed revision of the Gestalt theory of boundary disturbances. *The Gestalt Journal*, XI (2), 5-24.
- Wenzlaff, R. M., & Bates, D. E. (2000). The relative efficacy of concentration and suppression strategies of mental control. *Personality and Social Psychology Bulletin*, 26, 1200-1212.
- Yontef, G. M. (1993). *Awareness dialogue & process: Essays on Gestalt therapy*. Highland, NY: The Gestalt Journal Press.

收稿日期：2006年09月06日

一稿修訂日期：2007年01月18日

二稿修訂日期：2007年01月31日

接受刊登日期：2007年01月31日

Bulletin of Educational Psychology, 2007, 39 (1), 45-68  
National Taiwan Normal University, Taipei, Taiwan, R.O.C.

## **Model of Contact-Interruption, Unfinished Business, and Psychological Well-Being**

Chin-Ting Chen

National College of Physical Education and Sports  
Center for Teacher Education

The purpose of this study was to evaluate Gestalt therapy theory by exploring the causal model of contact-interruption, unfinished business, and psychological well-being using the structural equation modeling analysis. Participants were 434 seventh- and eighth-grade students, with 239 males and 195 females. The overall goodness of fit indices and most of the internal and external goodness of fit indices indicated an appropriate fit with the revised theoretical model. Finally, recommendations for further research were suggested, including clarifying the types of contact-interruption, dealing with the conflicting nature of autonomy and positive interpersonal relationship, and comparing causal models for males and females.

**KEY WORDS: boundary disturbance, contact-interruption, Gestalt therapy**